

نشریه علمی-پژوهشی جغرافیا و برنامه‌ریزی (دانشکده جغرافیا)، سال ۱۶، شماره ۴۲، زمستان ۱۳۹۱، صفحات ۲۲۸-۲۲۲

تاریخ دریافت: ۱۳۸۹/۰۶/۲۷

تاریخ پذیرش نهایی: ۱۳۹۰/۱۱/۱۷

## تحلیل سینوپتیک بارش‌های رعد و برقی ۴ و ۵ اردیبهشت ۱۳۸۹ تبریز

یوسف قویدل رحیمی<sup>۱</sup>

### چکیده

آمار هواشناسی نشان می‌دهد که به هنگام وقوع بارش‌های تندری پدیده‌های اقلیمی فرعی خطرناکی مثل نگرگ، رگبارهای سنگین و سیل‌آسا، بادهای شدید و صاعقه پدیده غالب اقلیمی تبریز هستند. مخاطرات اقلیمی یاد شده به عنوان بخشی از ماهیت اقلیم تبریز و کل منطقه شمال غرب ایران هر ساله خسارات فراوان اقتصادی-اجتماعی و زیستمحیطی را متوجه مردم بویژه کشاورزان و دامداران می‌کنند.

برای مطالعه سینوپتیک بارش‌های رعد و برقی روزهای ۴ و ۵ اردیبهشت ۱۳۸۹ تبریز از داده‌های جو بالای موجود در مرکز ملی پیش‌بینی‌های محیطی استفاده شده و با روش‌های محاسباتی و ترسیمی وضعیت جو به هنگام وقوع بارش‌های رعد و برقی مورد تجزیه و تحلیل قرار گرفته است. نتایج حاصل از تحلیل‌های سینوپتیک نشان داد که عوامل مؤثر بر وقوع بارش‌های رعد و برقی تبریز در روزهای ۴ و ۵ اردیبهشت ۱۳۸۹ وقوع بلوکینگ و پیچانه در ترازهای ۵۰۰ و ۶۰۰ هکتوپاسکال، ناپایداری و همرفت شدید هوا در تمام سطوح جوی از ۱۰۰۰ تا ۵۰۰ هکتوپاسکال و توابی مثبت یا سیکلونی در ترازهای جوی ۵۰۰، ۶۰۰، ۷۰۰ و ۸۵۰ هکتوپاسکال هستند. نقشه‌های وزش رطوبتی نشان دادند که منبع تأمین رطوبت بارش‌های رعد و برقی روزهای ۴ و ۵ اردیبهشت ۱۳۸۹ تبریز و منطقه شمال غرب ایران در در ترازهای ۹۲۵، ۱۰۰۰ و ۸۵۰ دریای خزر و در ترازهای ۷۰۰، ۶۰۰ و ۵۰۰ هکتوپاسکال دریاهای مدیترانه و دریای سیاه هستند.

**واژگان کلیدی:** بارش‌های تندری، تحلیل سینوپتیک، مخاطرات اقلیمی، وزش رطوبتی، تبریز.

## مقدمه

بارش تندri از مهمترین، فراوان ترین و شدیدترین مخاطرات جوی بوده و غالباً علاوه بر آسیب زدن به محصولات کشاورزی و تاسیسات عمرانی، موجب تلفات انسانی بسیاری در جهان می‌شود. در این زمینه تنها در بین سال‌های ۱۹۵۳ تا ۱۹۵۷ خسارت‌های مالی ناشی از بارش تندri در آمریکا بالغ بر ۳/۶ بیلیون دلار برآورد شده است (Changnon, 2003: 1925).

توفان‌های تندri معمولاً<sup>۱</sup> یا بر اثر گرم شدن زمین در داخل توده‌های هوایی و یا در جبهه‌های هوا، بویژه در جبهه سرد، به وجود می‌آیند. توفان تندri و پدیده‌های ناشی از آن از مهمترین مخاطرات اقلیم‌شناختی هستند که بخش وسیعی از تحقیقات اقلیمی دنیا را به خود اختصاص داده‌اند. از برجسته‌ترین مطالعات انجام گرفته در این خصوص می‌توان به تحقیقات ارزشمندی چون:

Bentley et al, 2002, Changnon, 2001, p 3 Easterling, 1989, p 567  
 Chumchean, et al, 2008, p Kolendowicz, p 1803 L, 2006, p374  
 Latha and Bonelli, et al, 2010, p 1 Rauhala and Schultz, 2009, p 369,1  
 Hurley et al, 2012, p 1 Murthy, 2011, p 230 اشاره کرد

حجازی‌زاده (۱۳۷۹: ۵) با بررسی نوسان دو مؤلفه پرفشار جنب حراره‌ای و چرخدنگی مثبت تراز ۵۰۰ هکتو پاسکال در دوره گرم و سرد سال، شرایط پایداری و ناپایداری جوی و تعداد طوفان‌های توأم با رعد و برق را مورد تحلیل قرار داده و به این نتیجه رسیده که با آغاز انتقال دوره گرم به سرد سال، افزایش بارش با عقب‌نشینی پرفشار جنب حراره‌ای و با عرض جغرافیایی رابطه مستقیمی دارد. ویژگی‌های زمانی و مکانی بارش‌های رعد و برقی شمال‌غرب مطالعه شده و ثابت شده که بارش‌های تندri، به دلیل ماهوی در جهت وقوع سیلاب‌های شدید محلی، از پتانسیل بالایی برخوردار هستند (رسولی و همکاران، ۱۳۸۶: ۱۵۵). غیبی (۱۳۸۷: ۳۷) نشان داد که مشاهدات گمانهزن‌های مایکروبویو پیشرفته و روش شبکه‌های عصبی مصنوعی، به تنها‌یی، پتانسیل آشکارسازی پدیده‌های جوی مختلف به‌طور



کلی و طوفان‌های تندری به طور خاص را دارد و برای مناطقی نظیر ایران که ایستگاه‌های زمینی محدود می‌باشند، بسیار سودمند هستند. صراف و همکاران (۱۳۸۸: ۱۲۳) از بارش‌های رگباری حوضه جنوبی رود ارس، آن دسته از بارش‌ها را که در نتیجه ورود جبهه سرد به منطقه باریده بودند، تحلیل نموده و به این نتیجه رسیدند که مهم‌ترین علل وقوع بارش‌های رگباری در این منطقه ناپایداری محلی و ورود جبهه سرد هستند.

توزیع احتمال وقوع بارش‌های تندری تبریز، مبین اجتناب ناپذیر بودن وقوع آنها در دوره‌های برگشت کوتاه مدت بوده و از این‌رو، بارش‌های تندری و پدیده‌های فرعی ناشی از آن در تبریز یک خطر دایمی محسوب می‌گردد (خوشحال و قویدل، ۱۳۸۶: ۱۰۱). قویدل رحیمی (۱۳۹۰: ۱۸۲) ابعاد دینامیک توفان تندری روز ۵ اردیبهشت ۱۳۸۹ تبریز را با استفاده از شاخص‌های مختلف بررسی و به این نتیجه رسیده که شاخص شوالتر بهتر از دیگر شاخص‌ها بوده و توفان تندری روز مذکور بر اثر تشدید ناپایداری جوی و حرکات قائم و همرفتی در سه تراز ۷۵۰ و ۷۰۰ هکتوپاسکال اتفاق افتاده است.

در روزهای ۴ و ۵ اردیبهشت ۱۳۸۹ بارشی رعد و برقی در منطقه شمال‌غرب کشور به وقوع پیوست که بارش مذکور در اکثر نقاط منطقه شمال‌غرب توأم با بارش شدید باران، ریزش تگرگ‌های درشت و سنگین، وزش باد و رعد و برق بوده و خسارات سنگینی بر محصولات زراعی و باگی منطقه وارد کرد و موجب طفیان رودها و آب گرفتگی معابر در شهرهایی چون تبریز گردید. بارش مذکور در دوره‌ای از سال وقوع یافته است که هنگام ریزش‌های فصلی موسوم به نیسان است و در دوره نیسان وقوع بارش‌های رعد و برقی پدیده‌ای عادی بوده و همه ساله وقوع بارش‌های رعد و برقی موجب خسارات سنگین اقتصادی-اجتماعی و حتی تلفات جانی می‌شود. تحلیل سینوپتیک بارش‌های رعد و برقی موضوعی جالب و کاربردی است که تا به امروز آن‌گونه که باید، بدان برداخته نشده است.

این مطالعه با هدف تجزیه و تحلیل سینوپتیک بارش رعد و برقی به وقوع پیوسته در روزهای ۴ و ۵ اردیبهشت ۱۳۸۹ تبریز به عنوان ایستگاه شاخص منطقه شمال‌غرب ایران انجام گرفته است.

## مواد و روش‌ها

پس از مشاهده عینی و میدانی بارش تندی روزهای ۴ و ۵ اردیبهشت ۱۳۸۸، آمار بارش روزانه ایستگاه تبریز از وب سایت سازمان هواشناسی کشور اخذ گردید. برای ترسیم و تجزیه و تحلیل نقشه‌های سینوپتیک داده‌های جوی با توان تفکیک فضایی ۲/۵ درجه طول جغرافیایی در ۲/۵ درجه عرض جغرافیایی روز مورد نظر (۲۴ و ۲۵ آوریل ۲۰۱۰) از بخش داده‌های بازتحلیل، مرکز ملی پیش‌بینی‌های محیطی (NCEP) در وب سایت مرکز تشخیص اقلیمی در NOAA شده‌اند.

برای محاسبه و ترسیم نقشه‌های تاوایی نسبی از معادله زیر استفاده شده است:

$$\zeta R = (\delta V - \delta X) - (\delta U - \delta Y) \quad (1)$$

در رابطه بالا  $V$  مؤلفه نصف‌النهاری باد،  $U$  مؤلفه مداری باد،  $\delta V$  تفاوت مؤلفه نصف‌النهارات شرقی و غربی،  $\delta U$  تفاوت مؤلفه‌های مداری شمالی و جنوبی،  $\delta X$  فاصله بین دو نصف‌النهار در امتداد مدارات به متر و  $\delta Y$  فاصله بین دو مدار در امتداد نصف‌النهارین هستند (Lynch and Cassano, 2006: 125).

برای محاسبه آب قابل بارش و ترسیم نقشه آن از رابطه ۲ استفاده شده است:

$$PW = g^{-1} \int_{P_{500}}^{P_0} q dp \quad (2)$$

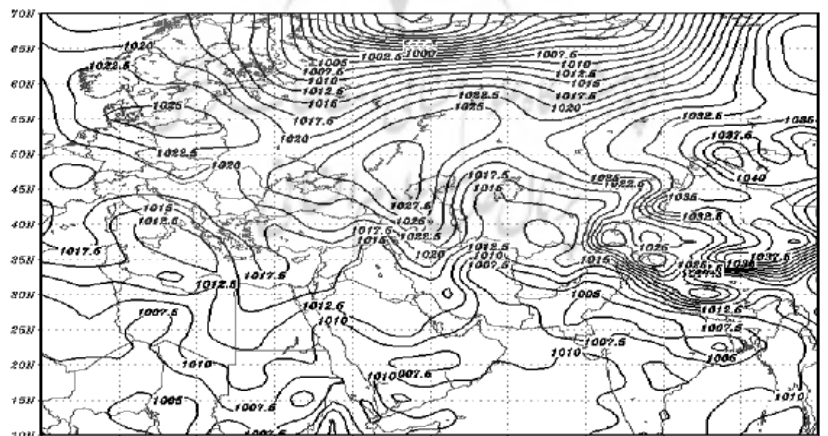
که در آن  $g$  نیروی جاذبه،  $q$  نم ویژه،  $P_0$  فشار سطح زمین،  $P_{500}$  فشار تراز ۵۰۰ هکتوپاسکال هستند. باید توجه داشت که اگر در محاسبه آب قابل بارش وارونگی دما بین دو لایه فشاری در بالای پایه ابر وجود داشته باشد، مقدار rdp برای آن لایه با علامت منفی در نظر گرفته می‌شود (صادقی حسینی و رضائیان، ۱۳۸۵، ۸۵).

## نتایج

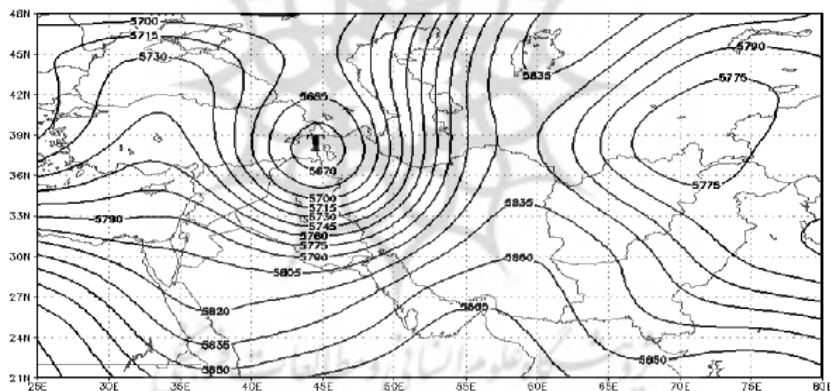
بررسی نقشه‌های فشار سطح دریا نشان می‌دهد که از سه روز قبل یعنی در روز ۲ اردیبهشتیک پرفشار روی بخش مدیترانه‌ای اروپا شکل گرفته به سمت شرق حرکت نموده،



بتدیرج تقویت شده و در ساعت ۲۱/۳۰ روز ۴ اردیبهشت سامانه مذکور به اوج قدرت خود رسیده و هسته فشار مرکزی آن در شمال‌غرب دریای خزر (جنوب غربی روسیه) به ۱۰۲۸ هکتوپاسکال رسیده که با توجه به زمان وقوع بارش در فصل انتقالی بهار، فشار بالایی است. همانگونه که در شکل ۱ ملاحظه می‌شود زبانه‌هایی از پرفشار مذکور به سمت ایران سرازیر شده که زبانه‌های مذکور هوای سرد و مطروب پرفشار را به سمت منطقه شمال‌غرب ایران سرازیر نموده‌اند. لازم به ذکر است که استقرار سامانه مذکور و سرازیر شدن زبانه‌های آن به منطقه شمال‌غرب از روز ۳ اردیبهشت موجب ریزش بارش‌های رعد و برقی شده به‌طوری که در روز ۴ اردیبهشت ۱۳۸۹ بارش ۷/۵ میلی‌متری در ایستگاه تبریز به ثبت رسیده است. با افزایش قدرت مرکزی سامانه پرفشار و تزریق رطوبت دریای سیاه و دریای خزر به آن در روز ۵ اردیبهشت قدرت بارش‌سازی سامانه پرفشار بالاتر رفته و در روز ۵ اردیبهشت موجب ریزش بارش ۱۷/۵ میلی‌متری در تبریز و بسیاری از مناطق شمال و شمال‌غرب ایران شده است (شکل ۱). با توجه به منحنی‌های همنشار و موقع ایستگاه تبریز و حرکت ساعتگرد هوا در آنتی سیکلون‌های نیمکره شمالی می‌توان به این مسئله مهم بی‌برد که گردش ساعتگرد هوا در محدوده مذکور موجب تزریق رطوبت دریای خزر و سیاه به سامانه شده و قدرت بارش‌زایی قابل توجهی به آن داده که منبع رطوبت بارش منطقه شمال‌غرب ایران در روزهای ۳ تا ۶ اردیبهشت ۱۳۸۹ نیز به همین علت بوده است.



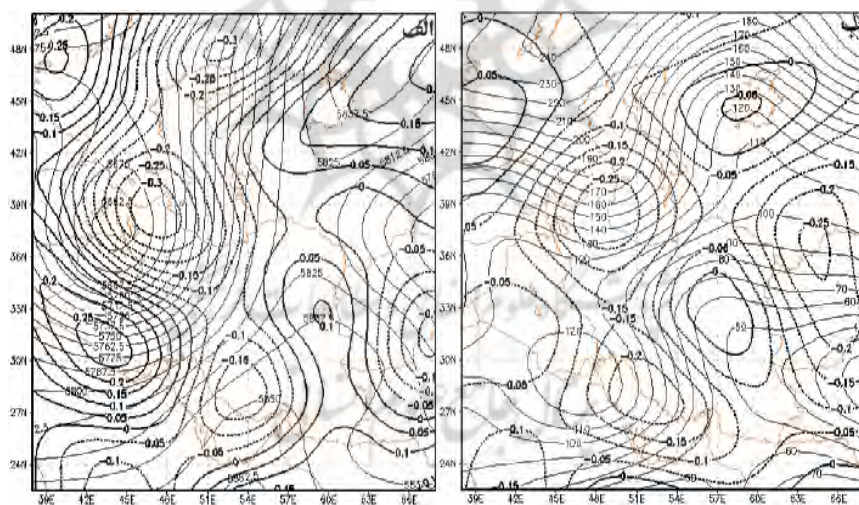
نقشه ارتفاع ژئوبتانسیل تراز ۵۰۰ هکتوپاسکال ساعت ۲۱/۳۰ روز ۴ اردیبهشت که در شکل ۲ ترسیم شده، نشان می‌دهد که نواهای عمیق بر روی منطقه شمال غرب ایران شکل گرفته که مرکز ناوه مذکور پریندی به ارتفاع ۵۶۷۵ ژئوبتانسیل متری بوده و دقیقاً بر روی ایستگاه تبریز قرار گرفته است. محور ناوه عمیق مذکور با جهت شمال به جنوب غرب از دریاچه ارومیه به سوی جنوب عراق امتداد یافته است. با توجه به آرایش توپوگرافی ارتفاع ژئوبتانسیل ترازهای ۷۰۰، ۶۰۰ و بیوژه ۵۰۰ هکتوپاسکال (شکل ۲) در ساعت ۲۱/۳۰ روز ۴ اردیبهشت ۱۳۸۹ و روزهای قبل از آن معلوم می‌شود که یک بلوکینگ تیپیک از نوع کم‌فشار برپیده که بر روی منطقه شمال غرب منحنی حالت امکایی شکل پیدا نموده، در منطقه حاکم شده است. استمرار زمانی چندروزه بارش‌های روزانه از ۳ تا ۶ اردیبهشت ۱۳۸۹ در منطقه شمال غرب نیز نتیجه عمل بلوکینگ مذکور است.





ساعت مذکور شاهد بارش شدید و رگباری باران، وزش شدید باد، ریزش تگرگ و وقوع رعد و برق‌های مهیب بوده است.

با توجه به تغییرات متوالی و سریع فشار ایستگاه تبریز در طی ساعت‌های پیاپی می‌توان به این جمع‌بندی رسید که جو باروکلینیک حاکم بر منطقه شمال‌غرب ایران بویژه ایستگاه تبریز، ناشی از عبور توده هوا یا وجود جبهه بوده و اثر آن در این موقع از سال عادی بوده و جزو خصایص اقلیمی منطقه آذربایجان است. توجه به نقشه‌های ترکیبی ارتفاع ژئوپتانسیل و امگا (سرعت قائم) بویژه در ترازهای ۵۰۰ و ۱۰۰۰ هکتوپاسکال ساعت ۱۵/۳۰ و ۲۱/۳۰ روز ۴ اردیبهشت و ساعت ۱۵/۳۰ روز ۵ اردیبهشت (شکل ۳)، نشان می‌دهد که در ترازهای مذکور در درون ناوه عمیقی که کل منطقه آذربایجان را تحت تأثیر خود قرار داده، حرکات صعودی شدیدی جریان دارد که با توجه به منفی بودن مقادیر سرعت قائم، می‌توان به هم‌رفت شدید جریان هوا و رطوبت در محدوده مورد مطالعه پی برد.

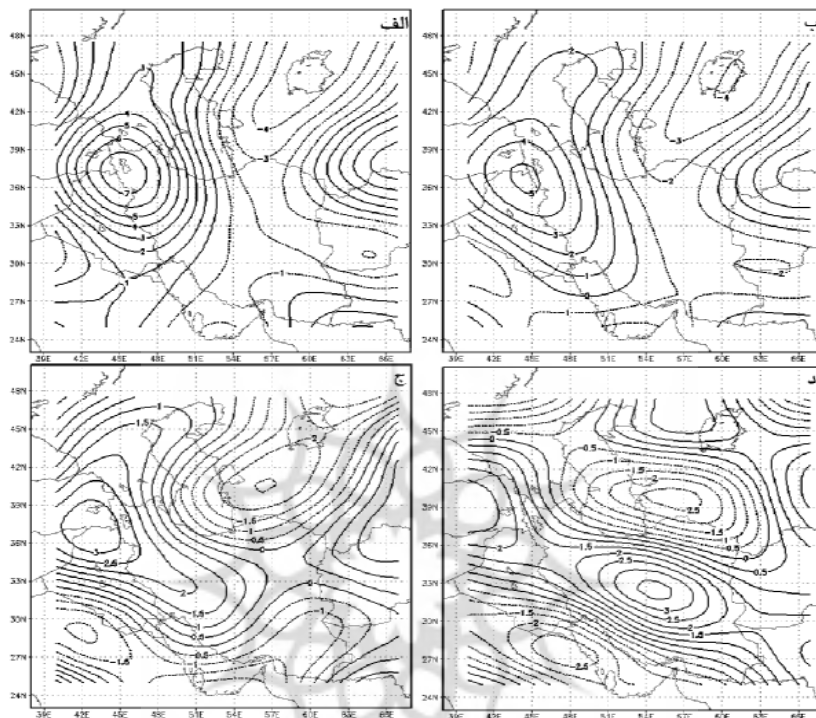


شکل (۳) نقشه ترکیبی ارتفاع ژئوپتانسیل (خط مستقیم) و امگای جو (منحنی منقطع) در ساعت ۱۵/۳۰ روز ۴ اردیبهشت ۱۳۹۶ برای الف: ۵۰۰ هکتوپاسکال، ب: ۱۰۰۰ هکتوپاسکال.

وجود چنین حرکات قائم و همرفتی از ضروریات وقوع بارش‌های رعد و برقی است که این مسأله در نقشه‌های ترازهای ۱۰۰۰ تا ۵۰۰ هکتوپاسکال جو در ساعت ۱۵/۳۰ روز ۴ اردیبهشت بسیار بازتر است (شکل ۳).

در ساعت ۲۱/۳۰ روز ۴ اردیبهشت و همچنین ۱۵/۳۰ روز ۵ اردیبهشت وضعیت توزیع سرعت قائم جو در سطوح فوقانی جو شکل دیگری پیدا کرده است. هسته‌های سرعت قائم نزولی و صعودی در اطراف منطقه شمال غرب ایران پراکنده شده و عموماً منحنی میزان صفر هکتوپاسکال بر ثانیه از روی ایستگاه تبریز عبور کرده است. در نقشه‌های روز مذکور قسمت عقب یا غرب ناوه عمدتاً دارای سرعت قائم مثبت و نزولی بوده و بخش جلویی یا شرق محور ناوه دارای سرعت قائم منفی و صعودی است. به عبارت دیگر جریان هوا در فروض موج بادهای غربی نزولی و در فراز بادهای غربی صعودی می‌باشدند. وجود هسته‌های سرعت منفی و مثبت یا حرکات بالارو و نزولی در محدوده‌ای نچندان وسیع و عبور منحنی صفر هکتو از روی تبریز خود نشان دیگری از وجود توده هوایی مختلف و وجود جبهه بر روی منطقه شمال غرب ایران است.

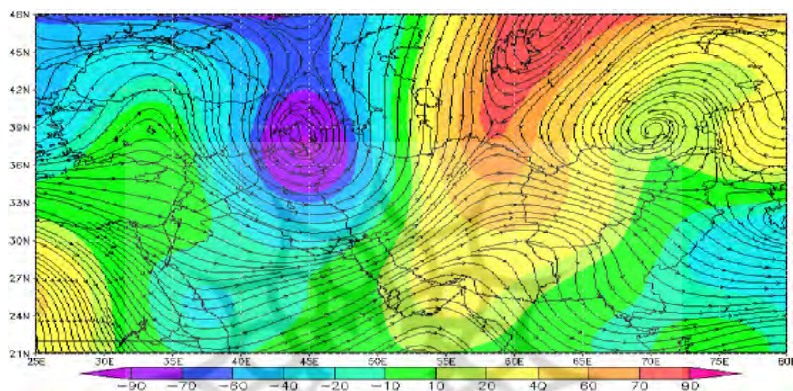
وجود و استقرار و تأثیرگذاری سیکلون در پشت موج باد غربی (ناوه) و آنتی‌سیکلون در جلوی موج یا شرق ناوه موجب جریان و وزش هوا شده و تولید باد شدیدی می‌کند که با توجه به وجود رطوبت و هسته‌های تراکم وجود حرکات قائم و همرفتی این امر منجر به تولید بارش رعد و برقی می‌شود. در این رابطه عامل مهم و تأثیرگذار دیگری که وجود دارد، تاوایی یا چرخندگی نسبی است. ترسیم نقشه‌های تاوایی نسبی نشان داد که غیر از تراز ۹۲۵ هکتوپاسکال در ساعت ۲۱/۳۰ روز ۴ اردیبهشت که دارای تاوایی منفی و آنتی‌سیکلونی بوده، در سایر روزها در تمامی سطوح جوی تاوایی نسبی مثبت و سیکلونی است. این بدان معنا است که در داخل ناوه مستقر بر منطقه شمال غرب کشور وضعیت گردش هوا (توده هوایها) برخلاف عقربه‌های ساعت و در جهت حرکت وضعی بوده و جریانات صعودی و همرفتی شدیدی بر منطقه حاکمیت داشته است. در شکل ۴ نقشه‌های توزیع تاوایی نسبی در زمان اوج فعالیت سامانه بارشی در ساعت ۲۱/۳۰ روز ۴ اردیبهشت ۱۳۸۹ برای ترازهای ۸۵۰ تا ۵۰۰ هکتوپاسکال ترسیم و نشان داده شده است.



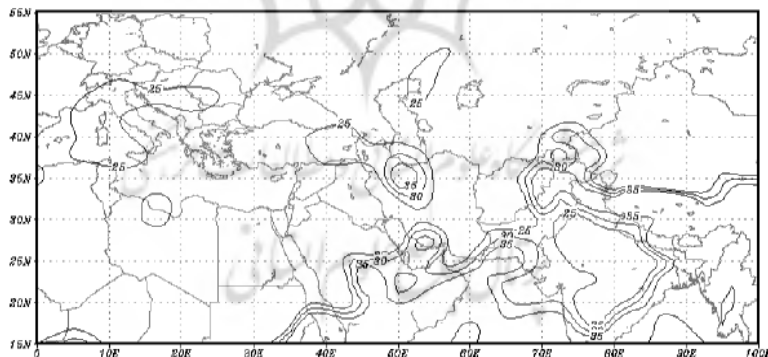
شکل (۴) نقشه توزیع تراویی نسبی در زمان اوج فعالیت سامانه بارشی در ساعت ۲۱/۳۰ روز ۴ اردیبهشت ۱۳۹۶ برای ترازهای ۵۰۰ هکتوپاسکال، ب: ۷۰۰ هکتوپاسکال، ج: ۷۰۰ هکتوپاسکال، د: ۸۵۰ هکتوپاسکال.

با توجه به وضعیت آرایش توپوگرافی ارتفاع ژئوتانسیل ترازهای فوقانی ۸۵۰ تا ۵۰۰ و توزیع سرعت قائم و تراویی نسبی به نظر می‌رسد که یک پیچانه یا Eddy بویژه در ساعت ۲۱/۳۰ روز ۴ اردیبهشت بر روی منطقه شمال غرب ایران مستقر شده و اثرات ناشی از آن موجب وقوع بارش رعد و برقی روزهای ۴ و ۵ اردیبهشت شده است. ترسیم نقشه پیچانه وجود و تأثیر پیچانه در ترازهای یاد شده را نشان داد. با توجه به نمود بسیار بارزتر پیچانه مذکور در تراز ۵۰۰ هکتوپاسکال نقشه تراز مذکور به هنگام اوج فعالیت سامانه بارشی در ساعت ۲۱/۳۰ روز ۴ اردیبهشت ترسیم و در شکل ۵ نشان داده شده است. با توجه به شکل ۵ در تراز ۵۰۰ هکتوپاسکال ساعت ۲۱/۳۰ روز ۴ اردیبهشت مرکز و هسته اصلی

ناهنجری‌های منفی ارتفاع ژئوپتانسیل که به عنوان پیچانه یا Eddy شناخته می‌شود، دقیقاً بر روی منطقه شمال غرب ایران و ایستگاه تبریز و ارومیه مستقر شده و داخل آن با توجه به نقشه آب قابل بارش (شکل ۶) انباسته از هوای مرطوبی است که در جهت پاد ساعتگرد در حال همرفت و صعود است.

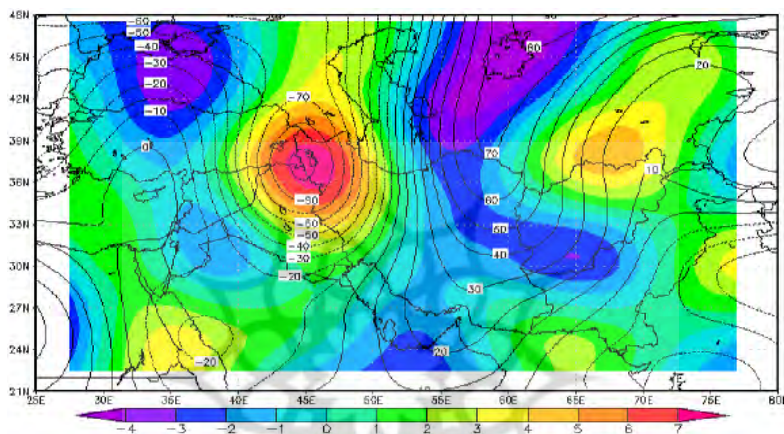


شکل (۵) پیچانه تراز ۵۰۰ هکتوپاسکال و گردش پاد ساعتگرد (سیکلونی) هوای مرطوب در ساعت ۲۱/۳۰ روز ۴ اردیبهشت ۱۳۹۹، اعداد منفی و مثبت ناهنجاری‌های ارتفاع ژئوپتانسیل هستند.



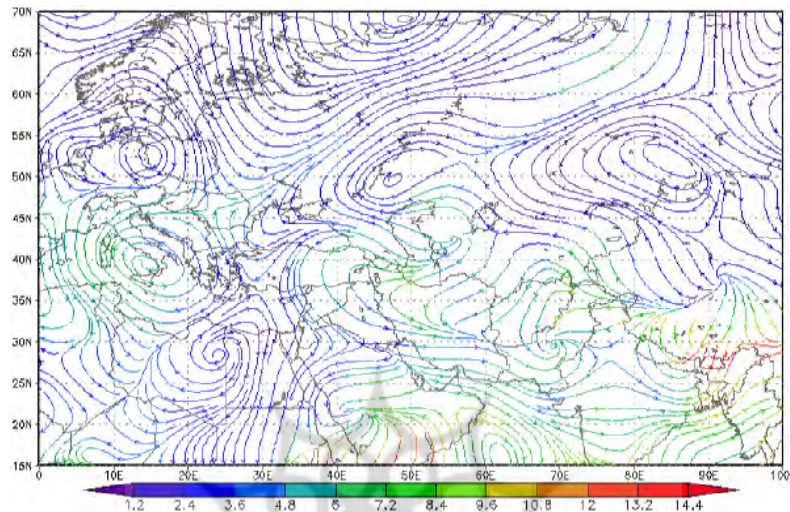
شکل (۶) توزیع آب قابل بارش (به گرم بر کیلوگرم) در ساعت ۲۱/۳۰ روز ۴ اردیبهشت ۱۳۹۹ مطابقت زمانی و مکانی هسته مرکزی پیچانه‌های موجود بر روی ترازهای ۵۰۰ تا ۸۵۰ هکتوپاسکال با حداکثر تاوایی یا چرخندگی مثبت یا سیکلونی در همان ترازها در ساعت

۲۱/۳۰ روز ۴ اردیبهشت ۱۳۸۹ که در شکل ۷ نشان داده شده، دلیلی قاطع بر شدت همرفت و حرکات قائم مولد بارش رعد و برقی و وجود جبهه است. تاوایی مثبت و وجود رطوبت کافی و حرکات همرفتی احتمال وزش رطوبتی جو در بارش رعد و برقی روزهای ۴ و ۵ اردیبهشت را تقویت می‌کند.

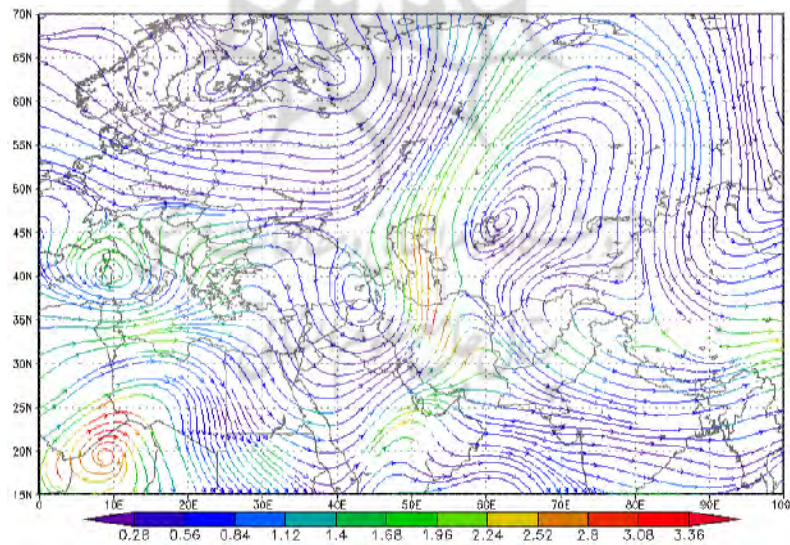


شکل (۷) تطبیق زمانی پیچانه با حد اکثر تاوایی در شمال غرب ایران در تراز ۵۰۰ هکتوپاسکال ساعت ۱۳۸۹ روز ۴ اردیبهشت ۲۱/۳۰

ترسیم و بررسی نقشه‌های وزش رطوبتی منبع رطوبت بارش رعد و برقی روزهای ۴ و ۵ اردیبهشت ۱۳۸۹ را مشخص نمود که بر این اساس در تمام مشاهدات از ساعت ۳/۳۰ روز ۴ اردیبهشت تا ساعت ۲۱/۳۰ روز ۵ اردیبهشت در ترازهای ۱۰۰۰، ۸۵۰ و ۸۰۰ هکتوپاسکال منبع تأمین رطوبت بارش‌های رعد و برقی دریای خزر و در ترازهای ۷۰۰ و ۶۰۰ و ۵۰۰ هکتوپاسکال دریاهای مدیترانه و دریای سیاه هستند. در شکل ۸ وزش و تزریق رطوبت بارش رعد و برقی از دریای خزر به ایستگاه تبریز از تراز ۸۵۰ هکتوپاسکال در ساعت ۲۱/۳۰ روز ۴ اردیبهشت و در شکل ۹ تزریق رطوبت دریایی مدیترانه و بویژه دریای سیاه از تراز ۵۰۰ هکتوپاسکال در ساعت ۳/۳۰ روز ۴ اردیبهشت به عنوان نمونه درج شده است.



شکل (۸) وزش و توزیع رطوبت (گرم در کیلوگرم در ثانیه) دریای خزر به منطقه شمال غرب و ایستگاه تبریز از تراز ۱۵۰۰ هکتومترسکال در ساعت ۲۱/۳۰ روز ۴ اردیبهشت.



شکل (۹) وزش و توزیع رطوبت (گرم در کیلوگرم در ثانیه) دریای سیاه و مدیترانه به منطقه شمال غرب و ایستگاه تبریز از تراز ۵۰۰ هکتومترسکال در ساعت ۳/۳۰ روز ۴ اردیبهشت ۱۳۹۸.



### نتیجه‌گیری

با توجه به مطالعه حجازی زاده (۱۳۸۷)، این مطالعه ثابت کرد که نه تنها چرخدنگی مثبت تراز ۵۰۰ بلکه چرخدنگی سیکلونی ترازهای ترازهای ۷۰۰ و ۸۵۰ هکتو پاسکال در بروز بارش‌های رعد و برقی مؤثرند.

نتایج این مطالعه نشان داد که وقوع بارش رعد و برقی در منطقه شمال غرب ایران و ایستگاه تبریز شامل بروز و استیلای شرایط سینوپتیک بسیار خاصی است. در خصوص بارش‌های رعد و برقی روزهای ۴ و ۵ اردیبهشت ۱۳۸۹ شرایط سینوپتیک موجد سیلاپ و آبگرفتگی معابر عبارتند از وجود یک پرفشار در سطح زمین که مرکز آن بر روی شمال غرب دریای خزر بر روی جنوب غرب روسیه قرار گرفته و زبانه ۱۰۲۲/۵ هکتوپاسکال آن به منطقه شمال غرب ایران سرازیر شده و با انتقال رطوبت دریای خزر منبع رطوبتی بارش‌های رعد و برقی در ترازهای زیرین ۱۰۰۰، ۹۲۵ و ۸۵۰ هکتوپاسکال محسوب می‌شود. بررسی نقشه‌های وزش رطوبتی نشان داد که در ترازهای بالای ۸۵۰ تا ۵۰۰ هکتوپاسکال منبع تأمین رطوبت بارش‌های رعد و برقی روزهای ۴ و ۵ اردیبهشت ۱۳۸۹ دریاهای سیاه و مدیترانه هستند. بر این اساس سه منبع رطوبتی بارش‌های رعد و برقی روزهای یاد شده به ترتیب اهمیت عبارت از: دریای خزر، دریای سیاه و دریای مدیترانه می‌باشند.

با توجه به نقشه‌های ترسیمی و نتایج حاصل از آنها می‌توان گفت که وقوع بارش‌های رعد و برقی در روزهای ۴ و ۵ اردیبهشت ۱۳۸۹ بر اثر وقوع ناپایداری شدید و جو کژفشاری در تمام سطوح مورد مطالعه، وقوع حرکات قائم شدید و همرفتی و تاوایی مثبت بویژه در سطوح ۸۵۰ تا ۵۰۰ هکتوپاسکال بوده و وجود ناوه عمیق و بلوکه شدن موج غربی بر روی مدیترانه و ایران که به شکل کم‌فشار بریده بر روی محدوده مورد مطالعه خودنمایی می‌کند، عامل استمرار زمانی بارش‌های رعد و برقی بوده است.

پیچانه مستقر بر ایران در ترازهای ۸۵۰ تا ۵۰۰ هکتوپاسکال نیز موجب استقرار و ریزش هوای سرد و مرطوب شمال غرب دریای خزر به منطقه شمال غرب و ایستگاه تبریز شده و نقش پدیده‌های پیش‌گفته را تکمیل نموده است. با توجه به تمرکز بارش‌های رعد و برقی

تبریز و کل منطقه شمال غرب ایران در فصل انتقالی بهار بویژه اردیبهشت و خرداد به نظر می‌رسد که استقرار شرایط سینوپتیک مورد اشاره برای بارش‌های رعد و برقی روزهای ۴ و ۵ اردیبهشت ۱۳۸۹، تکرار پذیری زیادی داشته و از فراوانی وقوع بالایی برخوردارند که از این آگاهی می‌توان برای پیش‌بینی و دادن پیش آگاهی‌های لازم برای مواجهه با مخاطرات ناشی از بارش‌های رعد و برقی (صاعقه، تگرگ، باد شدید و غیره) استفاده کرد.





## منابع

- ۱- حجازی‌زاده، زهرا (۱۳۷۹)، «بررسی عوامل سینوپتیکی بارش و طوفان‌های توام با رعد و برق در غرب کشور»، مجله دانشکده ادبیات و علوم انسانی دانشگاه تربیت معلم، شماره ۸، جلد ۲۸ و ۲۹ صص ۲۶-۵.
- ۲- خوشحال دستجردی، جواد؛ قوبیل رحیمی، یوسف (۱۳۸۶)، «شناسایی ویژگی‌های مخاطرات محیطی منطقه شمال غرب ایران (نمونه مطالعاتی: خطر توفان‌های تندری در تبریز)»، مدرس علوم انسانی، ویژه‌نامه جغرافیا، (پیاپی ۵۳) : ۱۱۵-۱۰۱.
- ۳- رسولی، علی‌اکبر؛ بداق جمالی، جواد؛ جلالی، مسعود (۱۳۸۶)، «توزیع زمانی بارش‌های رعد و برقی منطقه شمال غرب ایران».
- ۴- صادقی‌حسینی، علیرضا؛ رضائیان، مهتاب (۱۳۸۵)، «بررسی تعدادی از شاخص‌های ناپایداری و پتانسیل بارورسازی ابرهای هموفی منطقه اصفهان»، مجله فیزیک زمین و فضا، جلد ۳۲، شماره ۲، صص ۹۸-۸۳.
- ۵- ساری‌صرف، بهروز؛ رسولی، علی‌اکبر؛ کیانی، طاهره (۱۳۸۸)، «تحلیل همدید بارش‌های رگباری در حوضه جنوبی رود ارس»، فصلنامه جغرافیا، شماره ۲۴، صص ۱۴۶-۱۲۳.
- ۶- غبیبی، ابوالحسن (۱۳۸۷)، «تشخیص طوفان‌های تندری با استفاده از اطلاعات سنجش از دور واحد گمانهزن مایکرورویو پیشرفته B (AMSU-B) و روش شبکه‌های عصبی مصنوعی»، مجله پژوهشی علوم پایه دانشگاه اصفهان، شماره ۳۳، صص ۵۴-۳۷.
- ۷- قوبیل رحیمی، یوسف (۱۳۹۰)، «کاربرد شاخص‌های ناپایداری جوی برای آشکارسازی و تحلیل دینامیک توفان تندری روز ۵ اردیبهشت ۱۳۸۹ تبریز»، فصلنامه جغرافیا، شماره ۳۴، صص ۲۰۸-۱۸۲.
- 8- Bonelli, P.P, Marcacci; E., Bertolotti; E, Collino; G, Stella, (2010), “Nowcasting and Assessing Thunderstorm Risk on the Lombardy Region (Italy), *Atmospheric Research*, doi: 10.1016/j.atmosres.2010.08.009.
- 9- Changnon, S, A, (2001), “Thunderstorm Rainfall in the Conterminous United States, *Bull. Amer. Meteor. Soc.*, 82(9): 1925-1940.

- 10- Changnon, S, A; (2003), "Measures of Economic Impacts of Weather Extremes", *Bull. Amer. Meteor. Soc.*, 84(12): 1231-1235.
- 11- Chumchean, S.; Seed; A., Sharma, A., (2008), "An Operational Approach for Classifying Storms in Real-time Radar Rainfall Estimation", *Journal of Hydrology*, 363: 1-17.
- 12- Easterling, D.R, (1989), "Regionalization of Thunderstorm Rainfall in the Contiguous U.S", *Int. J. Climatol.* 9: 567-579.
- 13- Easterling, R, (2003), "Trends in U.S. Climate during the Twentieth Century", *Consequences*, 2: 3-12.
- 14- Hurley, J.P, G.J., Irwin; L.N., Fletcher; J.I., Moses; B., Hesman; J., Sinclair; C., Merlet, (2012), "Observations of upper Tropospheric Acetylene on Saturn: No Apparent Correlation with 2000 km-sized Thunderstorms", *Planetary and Space Science*, In Press, Corrected Proof.
- 15- Kolendowicz, L, (2006), "The Influence of Synoptic Situation on the Occurrence of Days with Thunderstorms during a Year in the Territory of Poland", *Int. J. Climatol.* 26: 1803-1820.
- 16- Latha, R; B.S, Murthy, (2011), "Boundary Layer Signatures of Consecutive Thunderstorms as Observed by Doppler Sodar Over Western India", *Atmospheric Research*, 99(2): 230-240.
- 17- Lynch, A, H; J.J, Cassano, (2006), "*Applied Atmospheric Dynamics*", John Wiley & Sons Ltd.
- 18- Rauhala, J.D., Schultz, (2009), "Severe Thunderstorm and Tornado Warnings in Europe", *Atmospheric Research*, 93:369-380.
- 19- Waguespack, M; (2006), "Reconciling Garbage Cans and Rational Actors: Explaining Organizational Decisions about Environmental Hazard Management", *Social Science Research*, 35: 40-59.
- 20- Williams, E.R., (2005), "Lightning and Climate: A Review", *Atmospheric Research*, 76: 272-287.